

Л. В. Мольченко¹, И. И. Лоос²

**НАПРЯЖЕННОЕ СОСТОЯНИЕ ГИБКОЙ ОРТОТРОПНОЙ
СФЕРИЧЕСКОЙ ОБОЛОЧКИ В МАГНИТНОМ ПОЛЕ
ПРИ ВОЗДЕЙСТВИИ ВНЕШНЕГО ТОКА И МЕХАНИЧЕСКОЙ СИЛЫ**

*Киевский национальный университет имени Тараса Шевченко;
пр. Глушкова, 4-е, 03127, Киев, Украина;
e-mail:¹Mol_lv@univ.kiev.ua, ²Loiri@univ.kiev.ua*

Abstract. A nonlinear problem of magnetoelasticity is considered in the axisymmetric statement for an orthotropic spherical shell with orthotropic conductivity. A system of nonlinear differential equations is obtained, which describes the stress-strain state of flexible orthotropic spherical shells in mechanical and magnetic fields. A numerical example is given, where the analysis of stress state of orthotropic shell is carried out in dependence with the external current and mechanical force.

Key words: magnetoelasticity, orthotropic spherical shell, mechanical and magnetic fields.

Введение.

Развитие современной техники, эксплуатация которой связана с нагружением элементов конструкций в условиях взаимодействия разных физических факторов, обуславливает необходимость создания теории сопряженных полей упругих тел и разработки методов исследования их напряженности и деформативности. На основе этой теории могут быть решены важные для технического применения задачи движения электропроводных тел (пластин, оболочек) в магнитном поле. Имеющиеся числовые результаты представлены в работах [8, 11].

В данной работе представлены основные уравнения, предложена методика их решения, дан анализ взаимодействия механической и электромагнитной нагрузок на усеченную ортотропную гибкую сферическую оболочку, находящуюся в магнитном поле (осесимметричная постановка). При построении геометрически нелинейных уравнений рассматриваемой оболочки учитывается также ортотропная электропроводность.

1. Постановка задачи. Основные уравнения.

Рассмотрим гибкую ортотропную сферическую оболочку постоянной толщины в лагранжевых переменных, что позволяет учитывать нелинейность в соотношениях для деформаций и кривизн. При этом метрика оболочки практически остается недеформированной, так как радиус кривизны и параметры Ламе соответствуют недеформированному состоянию оболочки. Пренебрегаем влиянием процессов поляризации и намагничивания, а также температурными напряжениями. Примем, что к оболочке подводится переменный электрический ток. Упругие свойства материала оболочки являются ортотропными, главные направления упругости совпадают с направлениями соответствующих координатных линий. Электромагнитные свойства материала характеризуются тензорами электрической проводимости σ_{ij} , магнитной проницаемости μ_{ij} и диэлектрической проницаемости ε_{ij} ($i, j = 1, 2, 3$). При этом, согласно [7] и следуя работам [2, 3, 6], для рассматриваемого класса проводящих ортотропных тел с

ромбической кристаллической структурой принимаем, что тензоры σ_{ij} , μ_{ij} , ε_{ij} имеют диагональный вид.

Координатную поверхность в недеформированном состоянии отнесем к криволинейной ортогональной системе координат s и θ , где s – длина дуги меридиана; θ – центральный угол. Координатные линии $s = \text{const}$ и $\theta = \text{const}$ являются линиями главных кривизн координатной поверхности.

Учитывая диагональный вид тензоров σ_{ij} , μ_{ij} , ε_{ij} и согласно работам [5, 9 – 11], учитывая геометрию оболочки, приходим к тому, что полная система уравнений осесимметричных ортотропных оболочек вращения в геометрически нелинейной постановке состоит из:

уравнений магнитоупругости –

$$\begin{aligned} \frac{\partial(rN_s)}{\partial s} - \cos\varphi N_\theta + \frac{r}{R_s} Q_s + r(P_s + \rho F_s^\wedge) &= r\rho h \frac{\partial^2 u}{\partial t^2}; \\ \frac{\partial(rQ_s)}{\partial s} - r\left(\frac{N_s}{R_s} - \frac{\sin\varphi}{r} N_\theta\right) + r(P_\gamma + \rho F_\gamma^\wedge) &= r\rho h \frac{\partial^2 w}{\partial t^2}; \end{aligned} \quad (1)$$

$$\frac{\partial(rM_s)}{\partial s} - \cos\varphi M_\theta - rQ_s - r\left(N_s - \frac{\sin\varphi}{r} M_\theta\right) \mathcal{G}_s = 0;$$

$$\frac{\partial E_\theta}{\partial s} = -\frac{\partial B_\gamma}{\partial t} - \frac{\cos\varphi}{r} E_\theta; \quad \frac{\partial B_\gamma}{\partial s} = -\sigma_2 \mu \left[E_\theta + 0,5 \frac{\partial w}{\partial t} (B_s^+ + B_s^-) - \frac{\partial u}{\partial t} B_\gamma \right] - \frac{B_s^+ - B_s^-}{h};$$

выражений для деформаций –

$$\varepsilon_s = \frac{\partial u}{\partial s} + \frac{w}{R_s} + \frac{1}{2} \mathcal{G}_s^2; \quad \varepsilon_\theta = \frac{\cos\varphi}{r} u + \frac{\sin\varphi}{r} w; \quad \chi_s = \frac{\partial \mathcal{G}_s}{\partial s}; \quad \chi_\theta = \frac{\cos\varphi}{r} \mathcal{G}_s - \frac{\sin\varphi}{2r} \mathcal{G}_s^2; \quad (2)$$

соотношений упругости –

$$N_s = \frac{e_s h}{1 - \nu_s \nu_\theta} (\varepsilon_s + \nu_\theta \varepsilon_\theta); \quad N_\theta = \frac{e_\theta h}{1 - \nu_s \nu_\theta} (\varepsilon_\theta + \nu_s \varepsilon_s); \quad (3)$$

$$M_s = \frac{e_s h^3}{12(1 - \nu_s \nu_\theta)} (\chi_s + \nu_\theta \chi_\theta); \quad M_\theta = \frac{e_\theta h^3}{12(1 - \nu_s \nu_\theta)} (\chi_\theta + \nu_s \chi_s)$$

$$(\nu_s = \nu_{\theta s}, \nu_\theta = \nu_{s\theta}, e_s \nu_\theta = e_\theta \nu_s)$$

Компоненты силы Лоренца имеют вид –

$$\begin{aligned} \rho F_s^\wedge &= hJ_{\text{OCT}} B_\gamma + \sigma_1 h \left[E_\theta B_\gamma - \frac{\partial u}{\partial t} B_\gamma^2 + 0,5 \frac{\partial w}{\partial t} (B_s^+ + B_s^-) B_\gamma \right]; \\ \rho F_\gamma^\wedge &= -0,5 h J_{\text{OCT}} (B_s^+ + B_s^-) - \sigma_2 h \left[0,5 E_\theta (B_s^+ + B_s^-) + \right. \\ &\quad \left. + 0,25 \frac{\partial w}{\partial t} (B_s^+ + B_s^-)^2 + \frac{1}{12} \frac{\partial w}{\partial t} (B_s^+ - B_s^-)^2 - 0,5 \frac{\partial u}{\partial t} (B_s^+ + B_s^-) B_\gamma \right]. \end{aligned} \quad (4)$$

В равенствах (1) – (4) принято: N_s, N_θ – нормальные усилия; Q_s, Q_θ – поперечные усилия; M_s, M_θ – изгибающие моменты; u, w – компоненты перемещений; $\varepsilon_s, \varepsilon_\theta, \chi_s, \chi_\theta$ – компоненты тензора деформаций; \mathcal{G}_s – угол поворота нормали; e_s, e_θ – модули Юнга; ν_s, ν_θ – коэффициенты Пуассона; E_θ – компоненты напряженности

электрического поля; B_γ – нормальная составляющая магнитной индукции; B_s^+ , B_s^- – известные составляющие магнитной индукции на поверхностях оболочки; $J_{\text{ост}}$ – составляющая плотности электрического тока от внешнего источника; h – толщина оболочки. Также учтено, что $r = R_\theta \sin \varphi$; $dr / ds = \cos \varphi$, где φ – угол нормали к срединной поверхности оболочки; $r(s)$ – радиус параллельного круга оболочки.

Для построения разрешающей системы дифференциальных уравнений гибкой ортотропной сферической оболочки в качестве разрешающих функций выбираем u , w , \mathcal{G}_s , N_s , Q_s , M_s , B_γ , E_θ .

Исходя из геометрии сферической оболочки, полагаем: $R_s = R_\theta = R$, где R – радиус оболочки; $r = R \sin \varphi$; $\sin \varphi = s / R$; $\cos \varphi = \cos s / R$.

В этом случае разрешающая система нелинейных дифференциальных уравнений магнитоупругости в нормальном виде принимает вид [5, 8]:

$$\begin{aligned} \frac{\partial u}{\partial s} &= \frac{(1 - \nu_s \nu_\theta)}{e_s h} N_s - \frac{\mathcal{G}_\theta \operatorname{ctg} \varphi}{R} u - \frac{(\nu_\theta - 1)}{R} w - 0,5 \mathcal{G}_s^2; \quad \frac{\partial w}{\partial s} = -\mathcal{G}_s + \frac{u}{R}; \\ \frac{\partial \mathcal{G}_s}{\partial s} &= \frac{12(1 - \nu_s \nu_\theta)}{e_s h^3} M_s - \frac{\nu_\theta}{R} (\operatorname{ctg} \varphi \mathcal{G}_s - 0,5 \mathcal{G}_s^2); \\ \frac{\partial N_s}{\partial s} &= \frac{\operatorname{ctg} \varphi}{R} (\nu_\theta - 1) N_s + \frac{Q_s}{R} - P_s - h J_{\text{ост}} B_\gamma - \\ &- \sigma_1 h \left[E_\theta B_\gamma - \frac{\partial u}{\partial t} B_\gamma^2 + 0,5 \frac{\partial w}{\partial t} (B_s^+ + B_s^-) B_\gamma \right] + \rho h \frac{\partial^2 u}{\partial t^2} + \frac{\operatorname{ctg} \varphi e_\theta h}{R^2} (\operatorname{ctg} \varphi u + w); \\ \frac{\partial Q_s}{\partial s} &= -\frac{\operatorname{ctg} \varphi}{R} Q_s + \frac{1}{R} (1 + \nu_\theta) N_s + \frac{e_\theta h \operatorname{ctg} \varphi}{R^2} (\operatorname{ctg} \varphi u + w) - \\ &- P_\gamma + 0,5 h J_{\text{ост}} (B_s^+ + B_s^-) - \sigma_2 h \left[0,5 E_\theta (B_s^+ + B_s^-) + 0,25 \frac{\partial w}{\partial t} (B_s^+ + B_s^-)^2 + \right. \\ &\quad \left. + \frac{1}{12} \frac{\partial w}{\partial t} (B_s^+ + B_s^-)^2 - 0,5 \frac{\partial u}{\partial t} (B_s^+ + B_s^-) B_\gamma \right]; \quad (5) \\ \frac{\partial M_s}{\partial s} &= \frac{\operatorname{ctg} \varphi}{R} (\nu_\theta - 1) M_s + \frac{e_\theta h^3 \operatorname{ctg} \varphi}{12 R^2} (\operatorname{ctg} \varphi \mathcal{G}_s - 0,5 \mathcal{G}_s^2) + \\ &+ Q_s + N_s \mathcal{G}_s - \frac{\nu_\theta}{R} M_s \mathcal{G}_s - \frac{e_\theta h^3}{12 R^2} \operatorname{ctg} \varphi \mathcal{G}_s^2; \\ \frac{\partial B_\gamma}{\partial s} &= -\sigma_2 \mu \left[E_\theta + 0,5 \frac{\partial w}{\partial t} (B_s^+ + B_s^-) - \frac{\partial u}{\partial t} B_\gamma \right] - \frac{B_s^+ - B_s^-}{h}; \quad \frac{\partial E_\theta}{\partial s} = -\frac{\partial B_\gamma}{\partial t} - \frac{\operatorname{ctg} \varphi}{R} E_\theta. \end{aligned}$$

Краевые условия для электромагнитных параметров представлены через компоненты электрического поля или через комбинацию компонент магнитного и электрического полей. При этом начальные условия задаем в классическом виде.

Приведенная система дифференциальных уравнений магнитоупругости соответствует геометрически нелинейной в квадратичном приближении теории тонких ортотропных сферических оболочек постоянной жесткости с учетом ортотропной электропроводности. Составляющие силы Лоренца (4) учитывают скорость деформирования оболочки, внешнее магнитное поле, величину и напряженность тока проводи-

мости относительно внешнего магнитного поля. Учет нелинейности в уравнениях движения вызывает нелинейность в пондеромоторных силах.

2. Методика решения нелинейных задач.

Решение задачи магнитоупругости для гибкой ортотропной сферической оболочки постоянной толщины состоит в последовательном использовании метода квазилинеаризации и метода дискретной ортогонализации [4, 5, 8].

Для разделения переменных по временной координате применяем неявную схему Ньюмарка интегрирования уравнений магнитоупругости [12].

Следующий этап решения нелинейной краевой задачи магнитоупругости основан на применении метода квазилинеаризации [1], с помощью которого нелинейная краевая задача сведена к последовательности линейных краевых задач на каждом временном шаге. Далее каждую из линейных краевых задач последовательности на соответствующем временном интервале решаем численно с помощью устойчивого метода дискретной ортогонализации.

3. Числовой пример. Анализ результатов.

Результаты исследования напряженно-деформированного состояния представим для металлической (бороалюминий) усеченной ортотропной сферической оболочки радиуса $R = 0,5\text{ м}$, постоянной толщины $h = 5 \cdot 10^{-2}\text{ м}$. Оболочка находится под воздействием нормальной составляющей механической нагрузки $P_\gamma = P_0 \sin \omega t$ (ω – круговая частота) и круговой составляющей внешнего электрического тока $J_{\theta CT} = J_0 \sin \omega t$.

На контуре оболочки заданы такие граничные условия:

$$\begin{aligned} u = w = M_s = 0; B_\gamma = 0,1 \sin \omega t \quad \text{при} \quad s = s_0; \\ u = Q_s = M_s = 0; B_\gamma = 0,1 \sin \omega t \quad \text{при} \quad s = s_N. \end{aligned}$$

Параметры оболочки и материала приняты следующие:

$$\begin{aligned} s_0 = 0,4\text{ м}; \quad s_N = 0,78\text{ м}; \quad h = 5 \cdot 10^{-2}\text{ м}; \quad \mu = 1,256 \cdot 10^{-6}\text{ Гн/м}; \quad e_s = 22,9 \cdot 10^{10}\text{ Н/м}^2; \\ e_\theta = 10,7 \cdot 10^{10}\text{ Н/м}^2; \quad \nu_s = 0,262; \quad \nu_\theta = 0,32; \quad \rho = 2600\text{ кг/м}^3; \quad \omega = 314,16\text{ с}^{-1}; \\ \sigma_1 = 0,454 \cdot 10^8 (\text{Ом} \cdot \text{м})^{-1}; \quad \sigma_2 = 0,454 \cdot 10^8 (\text{Ом} \cdot \text{м})^{-1}; \quad B_s^\pm = 0,5T. \end{aligned}$$

Решение задачи получено на интервале времени $t = 1 \cdot 10^{-2}\text{ с}$, шаг интегрирования по времени $\Delta t = 1 \cdot 10^{-3}\text{ с}$.

Исследовано взаимовлияние механической нагрузки P_γ и стороннего электрического тока $J_{\theta CT}$ на напряженно-деформированное состояние ортотропной сферической оболочки при известных значениях магнитной индукции на ее поверхностях.

При исследовании напряженного состояния оболочки рассмотрены следующие варианты изменения механической нагрузки и стороннего тока: 1) $P_\gamma = -1,3 \cdot 10^2 \sin \omega t$; $J_{\theta CT} = 5 \cdot 10^{-3} \sin \omega t$; 2) $P_\gamma = -1,3 \cdot 10^2 \sin \omega t$; $J_{\theta CT} = -5 \cdot 10^{-3} \sin \omega t$; 3) $P_\gamma = 1,3 \cdot 10^2 \sin \omega t$; $J_{\theta CT} = 5 \cdot 10^{-3} \sin \omega t$.

На рис. 1 приведено распределение прогиба $w(s)$ при $t = 5 \cdot 10^{-3}\text{ с}$ для вариантов 1, 2 (вариант 1 – сплошная линия; вариант 2 – пунктирная линия). На оси абсцисс для обозначений 2 – 10 координата s принимает значения, соответственно: 0,438 м; 0,514 м; 0,590 м; 0,666 м; 0,742 м. Получено, что максимальное значение нелинейного прогиба ($w/h = 3,2$) достигается при $s = 0,552\text{ м}$ для варианта 1. При изменении направления протекания стороннего тока при том же значении механической нагрузки (вариант 2) максимальное значение прогиба при $s = 0,552\text{ м}$ уменьшается ($w/h = 2,42$).

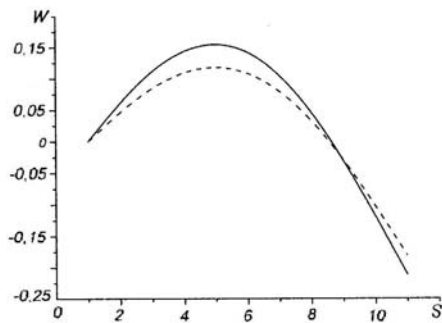


Рис. 1

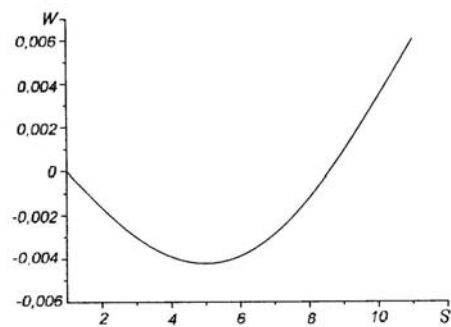


Рис. 2

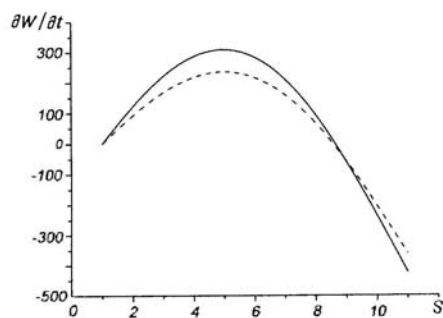


Рис. 3

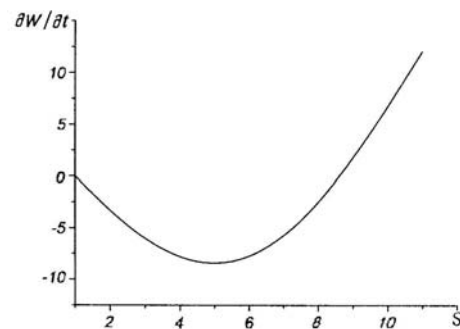


Рис. 4

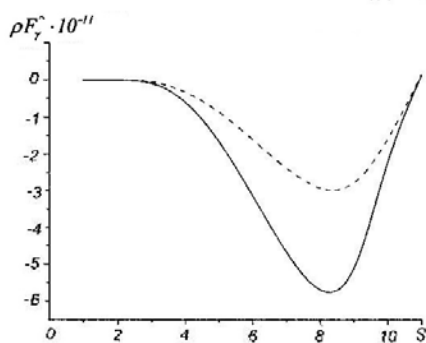


Рис. 5

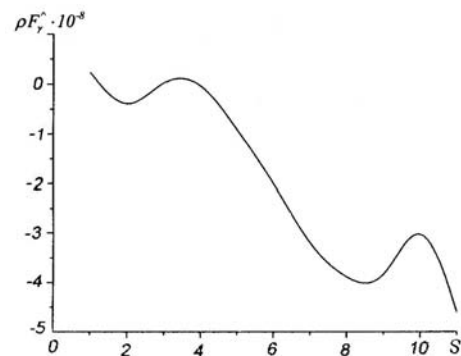


Рис. 6

При рассмотрении варианта 3 (рис. 2) прогиб $w(s)$ при том же значении $t = 5 \cdot 10^{-3}$ с становится чисто линейным ($w/h = 0,1$). Как видно, при изменении направления действия внешних сил существенно изменяется характер напряженно-деформированного состояния сферической оболочки.

На рис. 3, 4 дано распределение $\partial w / \partial t$ вдоль образующей при $t = 5 \cdot 10^{-3}$ с для вариантов 1, 2 и варианта 3, соответственно. Как видно из рис. 3, 4 изменение производной от прогиба по времени качественно отвечает изменению прогиба на рис. 1, 2.

На рис. 5, 6 показано изменение нормальной составляющей силы Лоренца вдоль s при $t = 5 \cdot 10^{-3}$ с для вариантов 1, 2 и варианта 3, соответственно.

Таким образом, изменение пондеромоторной силы качественно соответствует распределению прогиба (рис. 1, 2), а форма представления силы Лоренца дает возможность оценивать ее влияние на деформацию оболочки.

Заключение.

В данной статье рассмотрена задача магнитоупругости для гибкой ортотропной сферической оболочки с учетом ортотропной электропроводности. Получена разрешающая система нелинейных дифференциальных уравнений, описывающая напряженно-деформированное состояние гибкой ортотропной сферической оболочки. Представлены результаты числового примера. Проведен анализ напряженного состояния гибкой ортотропной оболочки, находящейся под действием переменной по времени механической силы и переменного по времени внешнего электрического тока, с учетом механической и электромагнитной ортотропии.

Р Е З Ю М Е : Розглянуто нелінійну задачу магнітопружності в осесиметричній постановці для ортотропної сферичної оболонки з ортотропною електропровідністю. Отримано систему нелінійних диференціальних рівнянь, яка описує напружено-деформований стан гнучких ортотропних сферичних оболонок в механічному та магнітному полях. Наведено числовий приклад. Проведено аналіз напруженого стану ортотропної оболонки в залежності від зміни в часі зовнішнього струму та величини механічної сили.

1. Беллман Р., Калаба Р. Квазилинеаризация и нелинейные краевые задачи. – М.: Мир, 1968. – 184 с.
2. Багдасарян Г.У., Даноян З.Н. Уравнения движения в перемещениях идеально-проводящих упругих анизотропных сред при наличии магнитного поля // Механика: Межвуз. сб. научн. тр. механики деформ. твердого тела. – 1984. – Вып. 3. – С. 32 – 42.
3. Вольман В.И., Пименов Ю.В. Техническая электродинамика. – М.: Связь, 1971. – 487с.
4. Григоренко Я.М., Мольченко Л.В. Основы теории пластин и оболочек. – К.: Лыбидь, 1993. – 231 с.
5. Григоренко Я.М., Мольченко Л.В. Основы теории пластин и оболочек с элементами магнитоупругости. Учебник. – К.: ИПЦ «Киевский университет», 2010. – 403с.
6. Най Дж. Физические свойства кристаллов и их описание при помощи тензоров и матриц. – М.: Мир, 1967. – 385 с.
7. Сиротин Ю.И., Шаскольская М.П. Основы кристаллофизики. – М.: Наука, 1979. – 639с.
8. Улитко А.Ф., Мольченко Л.В., Ковальчук В.Ф. Магнитоупругость при динамическом нагружении. Учеб. пособие. – К.: Лыбидь, 1994. – 154 с.
9. Molchenko L.V., Loos I.I. Effect of Conicity on Axisymmetrical Strain State of Flexible Orthotropic Conical Shell in Non-stationary Magnetic Field // Int. Appl. Mech. – 2010. – 46, N 11. – P. 1261 – 1267.
10. Molchenko L.V., Loos I.I., Indiaminov R.Sh. Nonlinear Deformation of Conical Shells in Magnetic Fields // Int. Appl. Mech. – 1997. – 33, N 3. – P. 221 – 226.
11. Molchenko L.V., Loos I.I., Indiaminov R.Sh. Determining the Stress State of Flexible Orthotropic Shell of Revolution in Magnetic Field // Int. Appl. Mech. – 2008. – 44, N 8. – P. 882 – 891.
12. Newmark N.M. A Method of Computation for Structural Dynamics // J. Eng. Mech. Div., Proc. ASCE. – 1959. – 85, N 7. – P. 67 – 97.

Поступила 23.11.2011

Утверждена в печать 06.06.2013